

การทดลองหาความสามารถในการดูดติดผิวของถ่านกัมมันต์ที่ผลิตจากกระดาษพร้าว
และกระดาษปัล์มในการลดค่าใช้โอดีของน้ำเสียจากการกระบวนการพิมพ์

นางสาว ชินมาส กานุจันไกคิน

ศูนย์วิทยทรัพยากร จุฬาลงกรณ์มหาวิทยาลัย

วิทยานิพนธ์นี้เป็นส่วนหนึ่งของการศึกษาตามหลักสูตรปริญญาวิศวกรรมศาสตรมหาบัณฑิต
สาขาวิชาวิศวกรรมเคมี ภาควิชาวิศวกรรมเคมี

คณะวิศวกรรมศาสตร์ จุฬาลงกรณ์มหาวิทยาลัย

ปีการศึกษา 2546

ISBN 974-17-3552-9

ลิขสิทธิ์ของจุฬาลงกรณ์มหาวิทยาลัย

EXPERIMENTAL STUDY TO DETERMINE THE ADSORPTION PERFORMANCES
OF ACTIVATED CARBONS MADE FROM COCONUT SHELL AND PALM SHELL
IN REDUCING COD VALUE OF WASTE WATER FROM PRINTING PROCESS

Miss Chinnamas Ganjanapokin

ศูนย์วิทยทรัพยากร
จุฬาลงกรณ์มหาวิทยาลัย

A Thesis Submitted in Partial Fulfillment of the Requirements
for the Degree of Master of Engineering in Chemical Engineering

Department of Chemical Engineering

Faculty of Engineering

Chulalongkorn University

Academic Year 2003

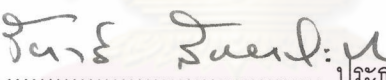
ISBN 947-17-3552-9

หัวข้อวิทยานิพนธ์ การทดลองหาความสามารถในการดูดติดผิวของถ่านกัมมันต์ที่ผลิตจากกลามะพร้าว
 โดย และกลาป้าล์มในการลดค่าซีไอดีของน้ำเสียจากการบวนการพิมพ์
 นางสาว ชินมาส กาญจน์โภคิน
 สาขาวิชา วิศวกรรมเคมี
 อาจารย์ที่ปรึกษา อาจารย์ ดร.วรัญ แต่เพลสิรุพงษ์
 อาจารย์ที่ปรึกษา (ร่วม) ดร.索吉 สงวนดีกุล

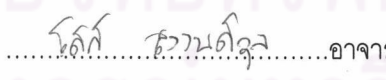
คณะวิศวกรรมศาสตร์ จุฬาลงกรณ์มหาวิทยาลัย อนุมัติให้นับวิทยานิพนธ์ฉบับนี้เป็นส่วน
 หนึ่งของการศึกษาตามหลักสูตรปริญญามหาบัณฑิต


 คณบดี คณะวิศวกรรมศาสตร์
 (ศาสตราจารย์ ดร.สมคก. พีญาแก้ว)

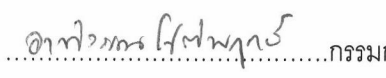
คณะกรรมการสอบวิทยานิพนธ์


 ประธานกรรมการสอบ
 (รองศาสตราจารย์ ดร.ชัยฤทธิ์ สัตยาประเสริฐ)


 อาจารย์ที่ปรึกษา
 (อาจารย์ ดร.วรัญ แต่เพลสิรุพงษ์)


 อาจารย์ที่ปรึกษา (ร่วม)
 (ดร.索吉 สงวนดีกุล)


 กรรมการ
 (ผู้ช่วยศาสตราจารย์ ดร.เดชา ฉัตรศิริเวช)


 กรรมการ
 (อาจารย์ ดร.อาทิวราณ โชคิพฤกษ์)

ชื่นมาส กานูจันไกคิน : การทดลองหาความสามารถการดูดติดผิวของถ่านกัมมันต์ที่ผลิตจากกลา
มะพร้าวและกะลาปาล์มในการลดค่าซีโอดีของน้ำเสียจากการพิมพ์. (EXPERIMENTAL
STUDY TO DETERMINE THE ADSORPTION PERFORMANCES OF ACTIVATED
CARBONS MADE FROM COCONUT SHELL AND PALM SHELL IN REDUCING COD
VALUE OF WASTE WATER FROM PRINTING PROCESS) อ.ที่ปรึกษา : อ. ดร.วรัญ แต้เพลสิรุ
พงษ์, อ.ที่ปรึกษาร่วม : ดร.索吉 สงวนดีกุล 72 หน้า. ISBN 974-17-3552-9.

การศึกษาวิจัยนี้มีวัตถุประสงค์เพื่อเปรียบเทียบปริมาณการดูดติดผิว (Adsorption Capacity) ระหว่าง
ถ่านกัมมันต์ที่ผลิตจากกลามะพร้าวและกะลาปาล์มในการลดค่าซีโอดีของน้ำเสียจากการพิมพ์ และ
หาประสิทธิภาพการทำงานของถ่านกัมมันต์ที่ผลิตจากกลามะพร้าวและกะลาปาล์มจากการทดลองด้วยระบบดูด
ติดผิวแบบคลั่มน์จำลอง จากการศึกษาพบว่าถ่านกัมมันต์ที่ผลิตจากกลามะพร้าวมีความสามารถในการดูด
ติดผิวมากกว่าถ่านกัมมันต์ที่ผลิตจากกะลาปาล์ม โดยใช้เทอมการดูดติดผิวของถ่านกัมมันต์ที่ผลิตจากกลา
มะพร้าวสอดคล้องกับสมการการดูดติดผิวแบบเมียร์ $q = 0.1122C_e/(1+2.69 \times 10^{-4}C_e)$ มากกว่าแบบฟรุน
คลิช $q = 0.1285 C_e^{1/1.0367}$ สำหรับถ่านกัมมันต์ที่ผลิตจากกะลาปาล์มสอดคล้องกับสมการดูดติดผิวทั้งสมการ
แบบเมียร์ $q = 0.0601C_e/(1+5.05 \times 10^{-4}C_e)$ และแบบฟรุนคลิช $q = 0.0711 C_e^{1/1.0562}$ และจากการศึกษา¹
ระบบดูดติดผิวคลั่มน์จำลองในการลดค่าซีโอดีจากน้ำเสียโดยใช้สมการ Bohart-Adams ให้ผลสอดคล้องเข่น
เดียวกับการศึกษาโดยใช้เทอม และการประเมินประสิทธิภาพการทำงานของชั้นถ่านกัมมันต์ที่มีพื้นที่หน้าตัด $1 m^2$
และสูง $1 m$ ที่อัตราการนำบัด $1.6 m^3/m^2 \cdot hr$ และที่จุดเบรคทูร์ $Ce/Co = 0.49$ พบว่าถ่านกัมมันต์ที่ผลิตจาก
กลามะพร้าวมีประสิทธิภาพการทำงานร้อยละ 50 ส่วนถ่านกัมมันต์ที่ผลิตจากกะลาปาล์มมีประสิทธิภาพการ
การทำงานร้อยละ 35

ศูนย์วิทยทรัพยากร จุฬาลงกรณ์มหาวิทยาลัย

ภาควิชา วิศวกรรมเคมี
สาขาวิชา วิศวกรรมเคมี
ปีการศึกษา 2546

ลายมือชื่อนิสิต ทันธง คงวนิสา²
ลายมือชื่ออาจารย์ที่ปรึกษา
ลายมือชื่ออาจารย์ที่ปรึกษาร่วม

4271418721 : MAJOR CHEMICAL ENGINEERING

KEY WORD : ACTIVATED CARBON / ADSORPTION / COD REDUCTION

CHINNAMAS GANJANAPOKIN : EXPERIMENTAL STUDY TO DETERMINE THE ADSORPTION PERFORMANCES OF ACTIVATED CARBONS MADE FROM COCONUT SHELL AND PALM SHELL IN REDUCING COD VALUE OF WASTE WATER FROM PRINTING PROCESS. THESIS ADVISOR: VARUN TAEPAISITPHONGSE, Ph.D., THESIS COADVISOR: SOPEE SA-NGUANDEKUL, Ph.D., 72 pp. ISBN 974-17-3552-9.

The main objectives of this research were to compare the adsorptive capacities and to determine the performances on pilot column test using activated carbons made from coconut shell and palm shell in reducing COD value of waste water from printing process. The results showed that the activated carbon made from coconut shell had a higher adsorptive capacity than activated carbon made from palm shell. The adsorption isotherm of activated carbon made from coconut shell followed Langmuir isotherm $q = 0.1122C_e/(1+2.69 \times 10^{-4}C_e)$ a little better than the Freundlich isotherm $q = 0.1285 C_e^{1/1.0367}$. For the activated carbon made from palm shell the adsorption isotherm followed either Langmuir isotherm $q = 0.0601C_e/(1+5.05 \times 10^{-4}C_e)$ or Freundlich isotherm $q = 0.0711 C_e^{1/1.0562}$ equally well. Results from pilot column tests also showed a better performance for activated carbon made from coconut shell as compared to activated carbons made from palm shell. The performances of activated carbon bed with surface area of 1 m² and height of 1 m in reducing COD value of waste water at flow rate 1.6 m³/m².hr were 50 % for activated carbon made from coconut shell and 35 % for activated carbon made from palm shell, respectively.

ศูนย์วิทยบริการ จุฬาลงกรณ์มหาวิทยาลัย

Department Chemical Engineering

Student's signature

Chinnamas

Field of study Chemical Engineering

Advisor's signature

Varun Tepthongse

Academic year 2003

Co-advisor's signature

Sopee Sa-Nguandeekul

กิตติกรรมประกาศ

วิทยานิพนธ์ฉบับนี้สำเร็จลุล่วงไปได้ด้วยการให้ความช่วยเหลือเป็นอย่างดียิ่งของ อ.ดร. วรรณา แต่เพสิฐ พงษ์ อาจารย์ที่ปรึกษาวิทยานิพนธ์ และ ดร. โสภี สงวนดีกุล อาจารย์ที่ปรึกษาวิทยานิพนธ์ร่วม ที่ให้คำปรึกษา แนะนำ ตลอดจนช่วยแก้ไขและเพิ่มเติมวิทยานิพนธ์ฉบับนี้ ตั้งแต่ต้นจนสำเร็จเป็นรูปเล่ม ผู้วิจัยขอกราบขอบพระคุณเป็นอย่างสูง

ขอขอบพระคุณคณะกรรมการสอบวิทยานิพนธ์ ประกอบด้วย วศ.ดร. ชัยฤทธิ์ สัตยาประเสริฐ ผศ.ดร. เดชา ฉัตรศิริเวช และ อ.ดร. อาทิวราณ โชติพฤกษ์ ซึ่งได้ให้คำแนะนำ และข้อคิดเห็นต่าง ๆ อันมีประโยชน์อย่างยิ่งตลอดมา

ขอขอบพระคุณ คุณสุริย์ จิรัตน์สิภา ผู้จัดการส่วนวางแผนและบริหารคุณภาพ และ คุณศรีน้อย เล็ก อุทัย ผู้จัดการส่วนเผยแพร่และวิจัยพัฒนา โรงพิมพ์ชนบัตร ธนาคารแห่งประเทศไทย ที่ให้โอกาสผู้วิจัยในการได้ศึกษาความรู้จากการวิจัย และการศึกษาในหลักสูตรปริญญาวิศวกรรมศาสตรบัณฑิต สาขาวิชา วิศวกรรมเคมี ภาควิชาวิศวกรรมเคมี จุฬาลงกรณ์มหาวิทยาลัย

ขอขอบคุณเพื่อน ๆ ร่วมโครงการวิจัย RD4507 การปรับปรุงระบบบำบัดน้ำเสียเพื่อรองรับหมึกพิมพ์ ต่างประเทศ โดยเฉพาะอย่างยิ่ง คุณธิดา เว่องศิริรัณย์กุล คุณนิรมล ชุลีเลิศวิทยาภรณ์ คุณนิธิวดี เกษรบุตร และคุณอภิชา กุลดิลกธรรม ที่เคยให้การช่วยเหลือและสนับสนุนงานวิจัยนี้สำเร็จ และเพื่อน ๆ ร่วมงานที่ไม่ได้กล่าวนามในที่นี้ที่ได้ให้กำลังใจมาโดยตลอด

ท้ายนี้ผู้วิจัยขอกราบขอบพระคุณบิดา มารดา รวมถึงพี่ชาย และน้องสาว ที่เป็นกำลังใจแก่ผู้วิจัยมาโดยตลอด

**ศูนย์วิทยทรัพยากร
จุฬาลงกรณ์มหาวิทยาลัย**

สารบัญ

	หน้า
บทคัดย่อภาษาไทย.....	๑
บทคัดย่อภาษาอังกฤษ.....	๑
กิตติกรรมประกาศ.....	๙
สารบัญตาราง.....	๙
สารบัญภาพ.....	๙
บทที่	
1. บทนำ	
1.1 ความเป็นมาและความสำคัญของปัจจุบัน.....	1
1.2 วัตถุประสงค์ของการวิจัย.....	5
1.3 ขอบเขตของการวิจัย.....	5
2. ทฤษฎีและงานวิจัยที่เกี่ยวข้อง	
2.1 การดูดติดผิวจากสารละลาย (Adsorption from solution).....	6
2.2 ถ่านกัมมันต์ (Activated Carbon).....	7
2.3 ปัจจัยต่าง ๆ ที่มีอิทธิพลต่อการดูดติดผิว.....	10
2.4 ไอโซเทอมการดูดติดผิว (Adsorption Isotherm).....	14
2.5 การใช้งานถ่านกัมมันต์แบบเกริด.....	16
2.6 การออกแบบระบบดูดติดผิวถ่านกัมมันต์แบบเกริด.....	19
2.7 บริเวณการถ่ายเทมวล (Mass Transfer Zone).....	22
2.8 ระบบดูดติดผิวทดลอง (Pilot Column)	23
2.9 การสำรวจงานวิจัยที่เกี่ยวข้อง.....	25
3. วิธีการดำเนินงานวิจัย	
3.1 การหาความสามารถในการดูดติดผิวของถ่านกัมมันต์ด้วยเครื่องเจาร์-tester.....	27
3.2 การหาประสิทธิภาพการทำงานของถ่านกัมมันต์ด้วยระบบดูดติดผิวทดลอง.....	28
3.3 เครื่องมือและอุปกรณ์ที่ใช้ในงานวิจัย.....	29
4. ผลการทดลองและวิเคราะห์ผล	
4.1 คุณสมบัติของถ่านกัมมันต์.....	33
4.2 การศึกษาเวลาสมดุลการดูดติดผิว (Adsorption Equilibrium Time) ของถ่านกัมมันต์.....	34
4.3 การวิเคราะห์ไอโซเทอมการดูดติดผิวของถ่านกัมมันต์.....	36
4.4 การหาประสิทธิภาพในการทำงานของถ่านกัมมันต์ด้วยระบบดูดติดผิวทดลอง.....	42

สารบัญ (ต่อ)

หน้า

บทที่

5.	สรุปผลการวิจัยและข้อเสนอแนะ	
5.1	สรุปผลการวิจัย.....	61
5.2	ข้อเสนอแนะ.....	62
	รายการอ้างอิง.....	63

ภาคผนวก

ก.	ข้อมูลการทดลองหาความสามารถในการดูดติดผิวของถ่านกัมมันต์ด้วยเครื่อง Jarvis เทสต์.....	65
ก.	ข้อมูลการทดลองหาประสิทธิภาพการดูดติดผิวของถ่านกัมมันต์ด้วยระบบ ดูดติดผิวควบคุมน้ำจำลอง.....	67
	ประวัติผู้เขียนนิพนธ์.....	72

ศูนย์วิทยทรัพยากร จุฬาลงกรณ์มหาวิทยาลัย

สารบัญภาพ

รูปที่	หน้า
1.1 ขั้นตอนการบำบัดน้ำเสียของโรงพิมพ์อนบัตรและหน้าที่หลักของแต่ละขั้นตอน.....	3
2.1 ความสัมพันธ์ระหว่างตัวถูกละลาย ตัวทำละลาย และสารคุณติดผิว	6
2.2 ภาพขยายพื้นผิวและรูปฐานของถ่านกัมมันต์ (จากข้ายไปขวา).....	7
2.3 (a) และ (b) โครงสร้างของกราไฟฟ์ (c) โครงสร้างเทอโรบิร์สแตรติก และ (d) โครงสร้างของถ่านกัมมันต์.....	11
2.4 กลุ่มออกไซด์บนพื้นผิวของถ่านกัมมันต์.....	12
2.5 เส้นทางการเคลื่อนที่ของสารถูกคุณติดผิวไปสู่ถ่านกัมมันต์.....	13
2.6 A ไอโซเทอมการคุณติดผิวจากสารละลาย, B กราฟที่ได้จากการแปลงให้อยู่ในรูปของเส้นตรงโดยใช้สมการfunclis และ C กราฟที่ได้จากการแปลงให้อยู่ในรูปของเส้นตรงโดยใช้สมการfunclis	14
2.7 ถังถ่านกัมมันต์แบบถังเปิด.....	16
2.8 ถังถ่านกัมมันต์แบบที่มีความดัน.....	17
2.9 การวางตำแหน่งระบบคุณติดผิวถ่านกัมมันต์แบบเกริด.....	18
2.10 กราฟเบรคทຽจของถ่านกัมมันต์แบบเกริด.....	20
2.11 เปอร์เซ็นต์การขยายตัวของถ่านกัมมันต์ขนาดต่าง ๆ ขณะการล้างย้อม ที่อุณหภูมิ 25 องศาเซลเซียส.....	20
2.12 ความสัมพันธ์ระหว่างอัตราการบำบัดกับความดันลดของถ่านกัมมันต์ชนิดต่าง ๆ	21
2.13 รูปแบบความเข้มข้นของสารถูกคุณติดผิวผ่านชั้นของถ่านกัมมันต์.....	22
2.14 ระบบคุณติดผิวคงลักษณะจำลอง.....	23
2.15 การกระจายตัวของสารถูกคุณติดผิว.....	26
3.1 เครื่องจาร์เทสต์ รุ่น Flocculator SW 1.....	29
3.2 ชุดอุปกรณ์ระบบคุณติดผิวคงลักษณะจำลอง.....	30
4.1 ความสัมพันธ์ระหว่างค่าซีไอดีที่ลดลง (%) ณ เวลาต่าง ๆ ของถ่านกัมมันต์ที่ผลิตจาก กะลามะพร้าว (PHO C) ในปริมาณต่าง ๆ ที่อุณหภูมิ 28 ± 3 องศาเซลเซียส.....	34
4.2 ความสัมพันธ์ระหว่างค่าซีไอดีที่ลดลง (%) ณ เวลาต่าง ๆ ของถ่านกัมมันต์ที่ผลิตจาก กะลามะพร้าว (PHO P) ในปริมาณต่าง ๆ ที่อุณหภูมิ 28 ± 3 องศาเซลเซียส.....	35
4.3 ไอโซเทอมการคุณติดผิวจากสารละลาย ของถ่านกัมมันต์ที่ผลิตจากกะลามะพร้าว (PHO C) และถ่านกัมมันต์ที่ผลิตจากกะลามะพร้าว (PHO P).....	36

สารบัญภาพ (ต่อ)

อุปที่	หน้า
4.4 ไอโซเทกมการดูดติดผิวแบบແລງເມີຍ່າຂອງຄ່ານກົມມັນຕີທີ່ຜລິດຈາກກະລາມະພ້ວງ (PHO C) ແລະຄ່ານກົມມັນຕີທີ່ຜລິດຈາກກະລາປາລົມ (PHO P) ທີ່ອຸນຫກູມ 28 ± 3 ອົງສາ ເໜລເຕີຢສ.....	37
4.5 ไอโซທັກມກາຣດູດຕິດຜົວແບບຝຸນດີໍາ ຂອງຄ່ານກົມມັນຕີທີ່ຜລິດຈາກກະລາມະພ້ວງ (PHO C) ແລະຄ່ານກົມມັນຕີທີ່ຜລິດຈາກກະລາປາລົມ (PHO P) ທີ່ອຸນຫກູມ 28 ± 3 ອົງສາ ເໜລເຕີຢສ.....	38
4.6 ກາຮັກເບຣຄທຽງຂອງຄ່ານກົມມັນຕີຜລິດຈາກກະລາມະພ້ວງ (PHO C) ທີ່ອັດຈາກການນຳບັດ $0.68 \text{ m}^3/\text{m}^2.\text{hr}$	43
4.7 ກາຮັກເບຣຄທຽງຂອງຄ່ານກົມມັນຕີຜລິດຈາກກະລາມະພ້ວງ (PHO C) ທີ່ອັດຈາກການນຳບັດ $1.36 \text{ m}^3/\text{m}^2.\text{hr}$	44
4.8 ກາຮັກເບຣຄທຽງຂອງຄ່ານກົມມັນຕີຜລິດຈາກກະລາມະພ້ວງ (PHO C) ທີ່ອັດຈາກການນຳບັດ $2.72 \text{ m}^3/\text{m}^2.\text{hr}$	45
4.9 ກາຮັກເບຣຄທຽງຂອງຄ່ານກົມມັນຕີຜລິດຈາກກະລາປາລົມ (PHO P) ທີ່ອັດຈາກການນຳບັດ $0.68 \text{ m}^3/\text{m}^2.\text{hr}$	46
4.10 ກາຮັກເບຣຄທຽງຂອງຄ່ານກົມມັນຕີຜລິດຈາກກະລາປາລົມ (PHO P) ທີ່ອັດຈາກການນຳບັດ $1.36 \text{ m}^3/\text{m}^2.\text{hr}$	47
4.11 ກາຮັກເບຣຄທຽງຂອງຄ່ານກົມມັນຕີຜລິດຈາກກະລາປາລົມ (PHO P) ທີ່ອັດຈາກການນຳບັດ $2.72 \text{ m}^3/\text{m}^2.\text{hr}$	48
4.12 ຄວາມສົມພັນຮ່ວ່າງເວລາທີ່ໃຊ້ໃນການນຳບັດກັບຄວາມລຶກຂອງຄ່ານກົມມັນຕີທີ່ຜລິດຈາກ ກະລາມະພ້ວງ (PHO C).....	52
4.13 ຄວາມສົມພັນຮ່ວ່າງ N_o ແລະ K ກັບອັດຈາກການນຳບັດຂອງຄ່ານກົມມັນຕີທີ່ຜລິດຈາກ ກະລາມະພ້ວງ (PHO C).....	53
4.14 ຄວາມສົມພັນຮ່ວ່າງເວລາທີ່ໃຊ້ໃນການນຳບັດກັບຄວາມລຶກຂອງຄ່ານກົມມັນຕີທີ່ຜລິດຈາກ ກະລາປາລົມ (PHO P).....	54
4.15 ຄວາມສົມພັນຮ່ວ່າງ N_o ແລະ K ກັບອັດຈາກການນຳບັດຂອງຄ່ານກົມມັນຕີທີ່ຜລິດຈາກ ກະລາປາລົມ (PHO P).....	55

สารบัญตาราง

ตารางที่	หน้า
1.1 ค่าซีไอดีเฉลี่ยของน้ำเสียที่ออกจากขันปฐมภูมิและขันติดภูมิของระบบบำบัดน้ำเสียในช่วงเดือนมกราคม พ.ศ. 2545 และกุมภาพันธ์ พ.ศ. 2545.....	4
2.1 พื้นที่ผิวของถ่านกัมมันต์	8
2.2 ขนาดของถ่านกัมมันต์แบบเกริดโดยทั่วไป.....	9
3.1 ปริมาณตัวอย่างและสารเคมีที่ใช้สำหรับ Digestion Vessels ขนาดต่าง ๆ.....	32
4.1 คุณสมบัติทางกายภาพและเคมีของถ่านกัมมันต์ที่ใช้ในงานวิจัย (จากตัวแทนจำหน่าย). 4.2 R^2 ของไอโซเทอมแบบแลงเมียร์และไอโซเทอมแบบฟรุนดลิช สำหรับถ่านกัมมันต์ที่ผลิตจากกะลาพร้าว (PHO C) และถ่านกัมมันต์ที่ผลิตจากกะลาปาล์ม (PHO).....	33
4.3 ค่าคงที่ของไอโซเทอมการดูดติดผิวแบบแลงเมียร์ของถ่านกัมมันต์ผลิตจากกะلامะพร้าว (PHO C) และถ่านกัมมันต์ผลิตจากกะลาปาล์ม (PHO P).....	38
4.4 ค่าคงที่ของไอโซเทอมการดูดติดผิวแบบฟรุนดลิชของถ่านกัมมันต์ผลิตจากกะلامะพร้าว (PHO C) และถ่านกัมมันต์ผลิตจากกะลาปาล์ม (PHO P).....	39
4.5 เวลาที่เข้าจึงจุดเบรกทูลูกจากการบำบัดน้ำเสียด้วยถ่านกัมมันต์ที่ผลิตจากกะلامะพร้าว (PHO C) และถ่านกัมมันต์ที่ผลิตจากกะลาปาล์ม (PHO P).....	40
4.6 ค่าความชัน จุดตัดแกนตั้ง และค่าคงที่ในสมการของ Bohart-Adams ที่คำนวนได้จากการใช้ถ่านกัมมันต์ที่ผลิตจากกะلامะพร้าว (PHO C).....	53
4.7 ค่าความชัน จุดตัดแกนตั้ง และค่าคงที่ในสมการของ Bohart-Adams ที่คำนวนได้จากการใช้ถ่านกัมมันต์ที่ผลิตจากกะลาปาล์ม (PHO P).....	55
4.8 เปรียบเทียบค่า N_o และ K ของถ่านกัมมันต์ที่ผลิตจากกะلامะพร้าว (PHO C) และถ่านกัมมันต์ที่ผลิตจากกะลาปาล์ม (PHO P).....	56
4.9 ข้อมูลเบื้องต้นสำหรับคำนวนของถ่านกัมมันต์ที่ผลิตจากกะلامะพร้าว (PHO C).....	55
4.10 ข้อมูลเบื้องต้นสำหรับคำนวนของถ่านกัมมันต์ที่ผลิตจากกะลาปาล์ม (PHO P).....	56
ก.1 ค่าซีไอดีของน้ำเสียที่เหลืออยู่หลังการดูดติดผิวด้วยถ่านกัมมันต์ผลิตจากกะلامะพร้าว (PHO C)	66
ก.2 ค่าซีไอดีของน้ำเสียที่เหลืออยู่หลังการดูดติดผิวด้วยถ่านกัมมันต์ผลิตจากกะลาปาล์ม (PHO P).....	66
ข.1 ค่าซีไอดีของน้ำเสียขากจากกระบวนการดูดติดผิวคลอลัมเน็จอลองที่อัตราการบำบัดต่าง ๆ กัน ของถ่านกัมมันต์ผลิตจากกะلامะพร้าว (PHO C)	68
ข.2 ค่าซีไอดีของน้ำเสียขากจากกระบวนการดูดติดผิวคลอลัมเน็จอลองที่อัตราการบำบัดต่าง ๆ กัน ของถ่านกัมมันต์ผลิตจากกะลาปาล์ม (PHO P)	70